



# UNICAMP – Faculdade de Engenharia Elétrica e de Computação

## EA-617 Introdução à Simulação Analógica

### Experiência 7: Resposta em Frequência dos Equipamentos ECP

4 de novembro de 2005

## Sumário

<b>1</b>	<b>Introdução</b>	<b>2</b>
<b>2</b>	<b>Identificação de Sistemas pelo Método Freqüencial</b>	<b>2</b>
2.1	Resposta em Frequência de Sistemas de 2a. Ordem . . . . .	3
<b>3</b>	<b>Procedimento Experimental</b>	<b>3</b>
3.1	Procedimento de cálculo da relação de amplitudes e defasagem . . . . .	5
3.2	Identificação de parâmetros do emulador industrial . . . . .	8
3.2.1	Disco de atuação sem pesos . . . . .	8
3.2.2	Disco de atuação com pesos . . . . .	10
3.2.3	Discos de atuação e de carga conectados . . . . .	10
3.3	Identificação de parâmetros do sistema retilíneo . . . . .	12
3.3.1	Carro #1 sem pesos . . . . .	12
3.3.2	Carro #1 com pesos . . . . .	13
3.3.3	Carros #1 e #2 conectados . . . . .	14
3.4	Identificação de parâmetros do sistema torcional . . . . .	15
3.4.1	Disco #1 sem pesos . . . . .	15
3.4.2	Disco #1 com pesos . . . . .	17
3.4.3	Discos #1 e #3 conectados . . . . .	17
3.5	Identificação dos parâmetros do pêndulo invertido . . . . .	18
3.5.1	Parâmetros da haste deslizante . . . . .	18
3.5.2	Parâmetros da haste principal . . . . .	20
3.6	Identificação dos parâmetros do levitador magnético . . . . .	21
3.6.1	Disco #1 em malha fechada . . . . .	21
3.6.2	Disco #1 sem compensação da força magnética . . . . .	23

## 1 Introdução

O objetivo dessa experiência é a identificação dos parâmetros desconhecidos dos modelos dos sistemas ECP, utilizando a técnica de resposta em frequência e a comparação com os valores obtidos anteriormente através da técnica da resposta temporal da experiência 5. Como na identificação via resposta temporal, sempre que possível adota-se configurações para o sistema ECP que reproduzam sistemas de 2a. ordem sub-amortecidos.

Algumas propriedades fundamentais da resposta em frequência de sistemas de 2a. ordem levemente amortecidos serão usadas para obter indiretamente parâmetros como massas ou momentos de inércias, constantes de mola e coeficientes de atrito viscoso a partir de medidas da planta quando esta se encontra em configurações clássicas do tipo massa-mola, inércia-mola, ou configurações que utilizem controlador proporcional para “simular” o efeito de força de reconstituição de uma mola.

Assim como na resposta temporal a máxima sobre-elevação e a frequência de oscilação da resposta caracterizam um sistema de 2a. ordem sub-amortecido, na resposta em frequência um sistema pouco amortecido apresentará um pico na resposta, na frequência de ressonância característica, e esses dados o caracterizam.

Na próxima seção serão indicados os procedimentos de identificação baseados na resposta em frequência de sistemas de 2a. ordem, explicitando o método de medidas que será empregado experimentalmente.

## 2 Identificação de Sistemas pelo Método Freqüencial

Podemos afirmar que um sistema linear, assintoticamente estável, invariante no tempo e sujeito a uma entrada senoidal, possui em regime estacionário uma saída senoidal com a mesma frequência de entrada, porém com amplitude e ângulo de fase em geral distintos. Além disso, se  $G(s)$  é a função de transferência desse sistema, para uma entrada senoidal de frequência  $\omega$ , tem-se

$$|G(j\omega)| = \left| \frac{Y(j\omega)}{U(j\omega)} \right| = \text{Relação de amplitude entre a saída senoidal e a entrada senoidal.}$$

$$\angle G(j\omega) = \phi(j\omega) = \text{Defasagem da saída senoidal em relação à entrada senoidal.}$$

A saída senoidal em regime estacionário pode ser obtida a partir das características da entrada senoidal (amplitude e frequência) e das características de  $G(j\omega)$  (amplitude e fase). Alternativamente, a função de transferência de um sistema linear pode ser identificada levantando-se os gráficos da relação de amplitudes e ângulos de fase em função da frequência.

## 2.1 Resposta em Frequência de Sistemas de 2a. Ordem

Considere a função de transferência do sistema de 2a. ordem descrita na forma

$$G(s) = \frac{k_{hw}\omega_n^2}{s^2 + 2\xi\omega_n s + \omega_n^2}$$

Se  $0 \leq \xi < \sqrt{2}/2$ , os pólos do sistema são complexos conjugados e diz-se que esse tipo de sistema é sub-amortecido e sua resposta em frequência apresenta um pico de ressonância. Identificar o sistema de 2a. ordem consiste em determinar experimentalmente os parâmetros  $\xi$  e  $\omega_n$ , considerando que o ganho de hardware  $k_{hw}$  seja conhecido.

Os seguintes passos devem ser realizados para a identificação experimental:

1. Submete-se o sistema a uma entrada senoidal com amplitude conhecida escolhendo frequências dentro da faixa de sua utilização. Em regime permanente, se o sistema de 2a. ordem for sub-amortecido, este irá apresentar um pico na frequência de ressonância  $\omega_r$ , dado por

$$\omega_r = \omega_n \sqrt{1 - 2\xi^2} \quad (1)$$

e o valor de pico na frequência  $\omega_r$  normalizado ( $M_p$ ) é dado por

$$M_p = \frac{1}{2\xi\sqrt{1 - \xi^2}} \quad (2)$$

vide a apostila da experiência 6. Para a utilização das equações acima, lembre-se que é preciso que ocorra ressonância, e portanto

$$1 - 2\xi^2 > 0 \quad \rightarrow \quad 0 < \xi < \sqrt{2}/2$$

2. O valor de  $\xi$  pode ser obtido diretamente da medida de  $M_p$ .
3. O valor da frequência  $\omega_n$  pode ser obtido da medida de  $\omega_r$  e do valor de  $\xi$  calculado no passo anterior.

## 3 Procedimento Experimental

Para executar as medidas necessárias à identificação do sistema é preciso medir a relação de amplitudes entre entrada e saída senoidais e a defasagem entre esses dois sinais. Num ensaio experimental, sabemos que as medidas não serão exatas devido a imprecisões seja no sinal de entrada que está sendo injetado, seja na própria medida devido a imperfeições do medidor. É muito provável que esses sinais sejam imperfeitos devido a presença de ruídos, de interferências de diversas naturezas, de efeito de quantização dos sinais, etc. No ensaio que pretende-se executar, é possível que o resultado de observação de um sinal senoidal tenha semelhança com a curva plotada na Fig. 1.

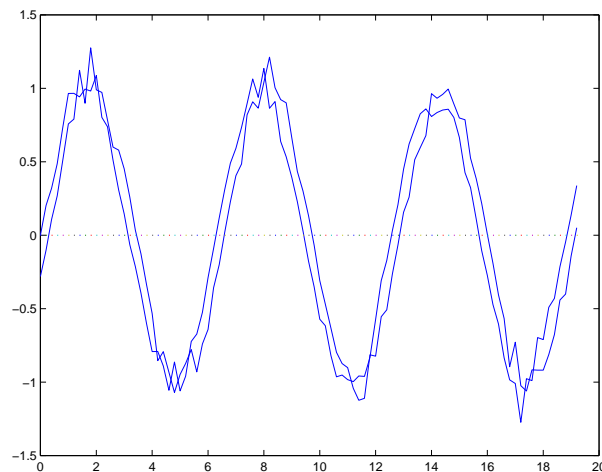


Figura 1: Sinais senoidais com ruído.

Fazer medidas de amplitudes e defasagens entre sinais como os da Fig. 1 é evidentemente muito difícil, e uma vez que as medidas não iriam apresentar a precisão desejada. Para melhorar a qualidade das medidas, faremos um tratamento numérico desses sinais, de acordo com o diagrama da Fig. 2.

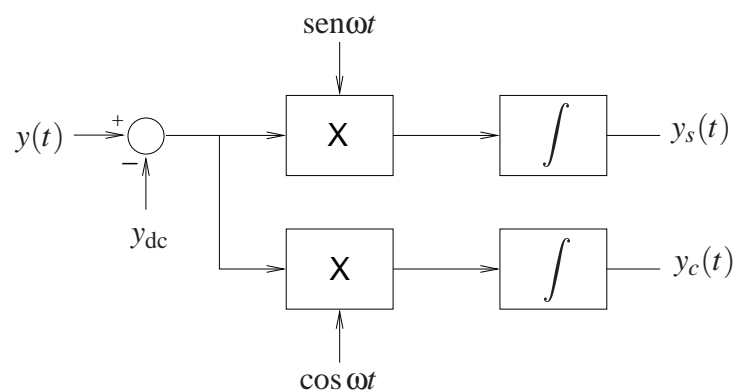


Figura 2: Tratamento de sinal senoidal  $y$  para obtenção da amplitude e fase.

Considere um sistema linear e assintoticamente estável, com entrada

$$u(t) = A_0 \text{sen}(\omega t),$$

cujas saída é um sinal senoidal com ruído  $y$  que possa ser escrito na forma:

$$y(t) = \bar{y}(t) + e(t)$$

onde  $\bar{y}(t) = B_0 \text{sen}(\omega t + \phi)$  é o sinal exato, e  $e(t)$  é o sinal causador da imprecisão ou de ruído, isto é  $e(t) = y(t) - \bar{y}(t)$ . Segundo o diagrama da Fig. 2, para se eliminar os efeitos das imperfeições do sinal, procede-se como a seguir:

1. Considerando um número  $k$  de ciclos do sinal, extraí-se o valor médio (valor dc) do sinal  $y(t)$ , definindo-se

$$y_{dc} = \frac{\omega}{2k\pi} \int_0^{2k\pi/\omega} y(t) dt = \frac{\omega}{2k\pi} \int_0^{2k\pi/\omega} e(t) dt$$

Assim

$$y(t) - y_{dc} = B_0 \text{sen}(\omega t + \phi) + \bar{e}(t)$$

onde o sinal  $\bar{e}(t)$  tem valor médio nulo.

2. Calcula-se agora a integral dos produtos do sinal e os sinais seno e cosseno de frequência  $\omega$ :

$$\begin{aligned} y_s\left(\frac{2k\pi}{\omega}\right) &= \frac{\omega}{2k\pi} \int_0^{2k\pi/\omega} [B_0 \text{sen}(\omega t + \phi) + \bar{e}(t)] \text{sen} \omega t dt \\ &= \frac{B_0}{2} \cos \phi - \frac{B_0 \omega}{4k\pi} \int_0^{2k\pi/\omega} \cos(2\omega t + \phi) dt + \frac{\omega}{2k\pi} \int_0^{2k\pi/\omega} \bar{e}(t) \text{sen} \omega t dt \end{aligned} \quad (3)$$

Analogamente,

$$y_c\left(\frac{2k\pi}{\omega}\right) = \frac{B_0}{2} \text{sen} \phi - \frac{B_0 \omega}{4k\pi} \int_0^{2k\pi/\omega} \text{sen}(2\omega t + \phi) dt + \frac{\omega}{2k\pi} \int_0^{2k\pi/\omega} \bar{e}(t) \cos \omega t dt \quad (4)$$

As expressões acima podem ser simplificadas após algumas considerações. Note que a segunda integral nas expressões (3) e (4) é nula e a terceira apresenta como integrando o produto de dois sinais de média nula ( $\bar{e}$  e seno ou cosseno), dividida pelo intervalo de integração, dado por  $2k\pi/\omega$ . Consequentemente o valor da última integral em (3) e (4) deve ser desprezível, o que nos permite expressar:

$$y_s\left(\frac{2k\pi}{\omega}\right) \approx \frac{B_0}{2} \cos \phi, \quad \text{e} \quad y_c\left(\frac{2k\pi}{\omega}\right) \approx \frac{B_0}{2} \text{sen} \phi \quad (5)$$

Podemos afirmar que estas aproximações serão mais precisas quanto maior for o intervalo de integração  $2k\pi/\omega$ , ou equivalentemente o número de ciclos. Com hipóteses gerais sobre o sinal aleatório  $\bar{e}(t)$ <sup>1</sup> é possível concluir que a terceira integral em (3) e (4) tendem a zero quando  $k$  tende a infinito.

Das expressões em (5), podemos avaliar a relação de amplitudes  $A_r$  e a defasagem  $\phi$  como

$$A_r = \frac{B_0}{A_0} = \frac{2\sqrt{y_s^2 + y_c^2}}{A_0}, \quad \phi = \arctan\left(\frac{y_c}{y_s}\right)$$

### 3.1 Procedimento de cálculo da relação de amplitudes e defasagem

Para exemplificar e detalhar o procedimento a ser usado no laboratório, considere a observação típica do comportamento do sinal de excitação e de saída de um dos equipamentos do laboratório. A Fig. 3 mostra um destes ensaios, capturados graficamente através da opção do software **Data, Export Raw Data**.

<sup>1</sup> $t \rightarrow e(t)$  deve ser um processo ergódico.

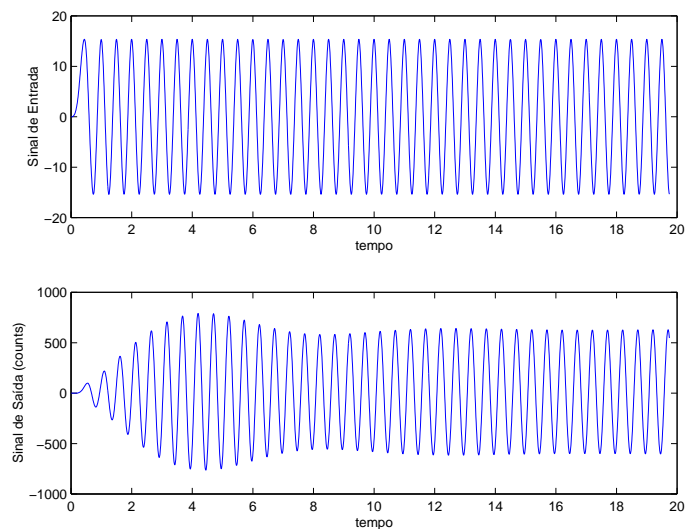


Figura 3: Sinais de entrada e de saída típicos de um sistema ECP.

Após o transitório inicial do sistema, ele entra em regime indicado pelo valor constante de amplitude da saída. Para fazermos o cálculo explicado anteriormente é preciso selecionar no segundo gráfico o início do que consideramos o comportamento de regime permanente senoidal, e um número inteiro de ciclos até o final do conjunto de dados. Isso é feito através do programa Matlab manipula .m com a seguinte entrada de dados:

» manipula

```

Nome do arquivo com os dados (.txt)           :> tor_f20.txt
Frequencia utilizada (em Hz)                 :> 2.0
Coluna de dados com o sinal de entrada       :> 3
Coluna de dados com o sinal de saída        :> 4
Nome do arquivo para guardar a frequencia (f), a
fase (fi), a relacao de amplitudes (Ar), e a
amplitude do sinais de saída (Bo) (extensao .txt) :> meu_result.txt

```

Onde:

- tor\_f2\_0.txt é o nome do arquivo gravado com os dados do ensaio utilizando o recurso de **Export Raw Data** do software. As 3 linhas iniciais deste arquivo devem estar “comentadas” para uso do Matlab (símbolo % no início das linhas).

*Importante:* O nome do arquivo gravado deve fazer referência à frequência utilizada no ensaio, para uso no programa compara .m. No exemplo acima a frequência utilizada foi 2 Hz, especificada na segunda linha da entrada de dados.

- As colunas de dados de entrada/saída declaradas se referem às colunas do arquivo tor\_f20.txt. Verifique a ordem definida no arquivo de dados do seu ensaio, ou seja, *anote as colunas com os sinais de entrada e de saída.*

- O arquivo `meu_result.txt`, nesse exemplo, irá guardar o resultado desejado de forma cumulativa, isto é, os dados de frequência  $f$ , relação de amplitude  $A_r$ , defasagem  $\phi$  e amplitude de saída  $B_0$  serão gravados nesse arquivo numa nova linha, se o arquivo existir; caso contrário, cria-se o arquivo e grava-se os dados. O nome utilizado pode ser qualquer, com extensão `.txt`.

Os dados carregados são passados para uma função Matlab chamada `defasagem.m`, que apresenta a seguinte estrutura de chamada:

```
[fi,Ar,Bo]=defasagem(A,f,ce,cs)
```

$A$  é o nome do arquivo de dados já presentes no *workspace* do Matlab,  $f$ ,  $ce$  e  $cs$  são respectivamente, as frequências dos sinais, e as colunas dos sinais de entrada e saída. Retorna então os dados de defasagem, relação de amplitudes e o valor de amplitude de saída a partir da realização do cálculo esquematizado na Fig. 2.

Para a comparação e verificação de consistência dos resultados obtidos com a resposta temporal e a resposta frequencial, os diagramas de Bode devem ser construídos. Para sobrepor os resultados graficamente utilize a rotina `compara.m` da seguinte maneira:

1. Utilizando os valores dos parâmetros obtidos anteriormente através da resposta temporal, construa a função de transferência apropriada para o ensaio através do comando `tf`. Suponha que o nome dado seja `g1`.
2. Supondo que `g1` esteja disponível no *workspace* do Matlab, utilize o programa `compara.m` da seguinte forma:

```
>> compara
Entre com a função de transferência do sistema,
ela já deve estar disponível utilizando o comando "tf",
verifique se o ensaio foi feito com ou sem controle.
Nome da função de transferência pré-definida      :> g1
Nome do arquivo onde estão os valores de frequência (f), fase (fi),
e relação de amplitudes (Ar) (extensão .txt)     :> meu_result.txt
Frequências mínima e máxima para os diagramas de Bode.
Entre com fmin na forma fmin=10^n1 [Hz]         :> 0.1
Entre com fmax na forma fmin=10^n2 [Hz]         :> 10
```

A figura com o diagrama de Bode correspondente será criada. Se os resultados estiverem adequados, o resultado deve ser parecido com o da Fig. 4. O Matlab não determina corretamente a fase de sistemas de fase não-mínima, e a rotina `compara_pendulo.m` é específica para o pêndulo que tem essa característica.

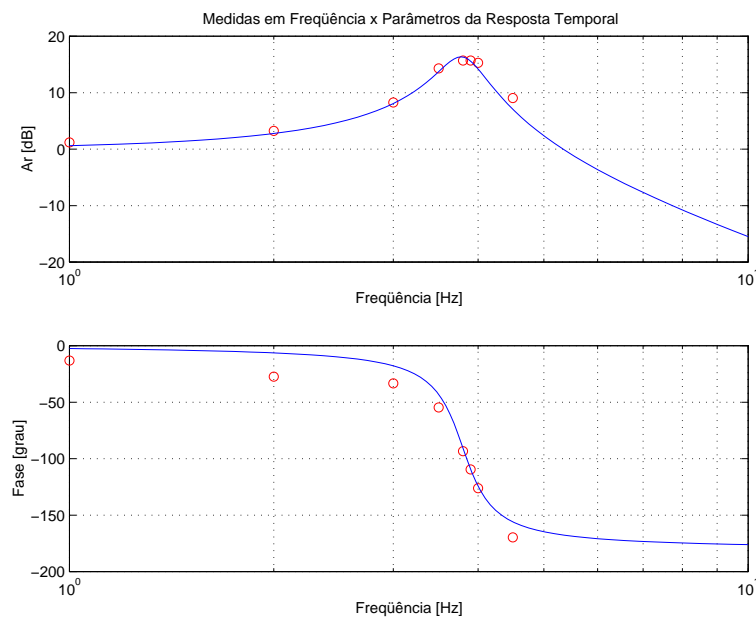


Figura 4: Resultado comparado do experimentos: resposta temporal e resposta em frequência.

## 3.2 Identificação de parâmetros do emulador industrial

### 3.2.1 Disco de atuação sem pesos

1. Com o controlador desligado, configure o emulador com o disco de atuação desconectado do restante do conjunto;
2. Com o controlador ligado, entre na caixa de diálogo **Control Algorithm** do menu **Set-up** e defina  $T_s=0.00442s$  para **Continuous Time**. No menu **Set-up** selecione **PID** e **Set-up Algorithm**. Entre com os valores  $K_p = 0.03$  e  $K_d = K_i = 0$ , selecione **Feedback Encoder #1** e **OK**. Selecione **Implement Algorithm** e depois **OK**;
3. Vá para o **Set-up Data Acquisition** no menu **Data** e selecione **Commanded Position** e **Encoder #1** como variáveis a adquirir, e especifique amostragem de dados a cada **3 ciclos**.
4. Entre no menu **Command**, vá para **Trajectory** e selecione **Sinusoidal**. Em **Set-up** selecione **Closed-Loop**, e para o ajuste da amplitude oriente-se pela curva dada na Fig. 5a. A curva serve como referência para os valores de amplitudes, principalmente em torno da frequência de ressonância, indicada pelos seus valores mínimos. Para frequências inferiores a da ressonância, o limite pode ser ligeiramente ultrapassado para superar o atrito seco (ou atrito de Coulomb), enquanto para frequências superiores um limite menor do que o indicado pela curva deve ser respeitado. Essa curva provê um ajuste das

amplitudes de entrada para que se observe na saída amplitudes de magnitude semelhantes em todas as frequências<sup>2</sup>;

- Na opção **Frequency** selecione um conjunto de 6 a 8 valores de frequências diferentes na faixa indicada na Fig. 5a, concentrando as escolhas na região próxima à frequência de ressonância. Após detectar a frequência de ressonância adequadamente, selecione mais três frequências abaixo desta e três acima, dentro da faixa indicada. Para a escolha do número de períodos para execução do movimento, considere um valor suficientemente alto para que o sistema entre em regime, mas não tão longo, para que os arquivos a serem salvos não fiquem excessivamente grandes. Nestes experimentos os valores típicos são de 30 a 40 ciclos;

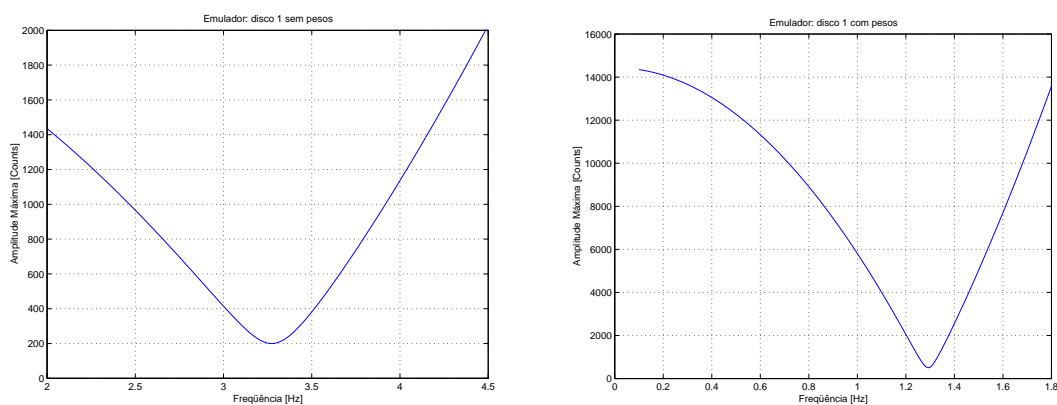


Figura 5: Valores máximos de amplitude: a) disco de atuação sem pesos; b) disco de atuação com pesos.

- Retorne para o **Background Screen**, clicando sucessivamente **OK**. Selecione **Zero Position** no menu **Utility** para zerar as posições dos encoders. Comande a execução do movimento com **Execute** no menu **Command**;
- Através do **Plot** da curva de resposta, verifique se houve de fato tempo para o sistema entrar em regime permanente; caso não seja observado o comportamento de regime, aumente o número de ciclos no menu **Command**, **Trajectory**, **Sinusoidal** e descarte o ensaio. Caso a resposta tenha atingido o regime permanente, salve esses dados num arquivo com extensão txt, através do menu **Data**, **Export Raw Data**. Dê um nome apropriado a esse arquivo que faça referência à *configuração utilizada* e a *frequência empregada* neste ensaio, para uso posterior no programa `manipula.m`. Repita esse procedimento para todas as medidas efetuadas.
- Após a finalização das medidas, utilize os arquivos de dados gravados como entrada para o programa `manipula.m`, escolhendo a posição comandada **Commanded Position**

<sup>2</sup> Via de regra, escolha amplitudes suficientemente altas para que o movimento tenha grandes excursões que superem o *atrito de Coulomb*, mas não tão grandes para evitar que *comportamentos não-lineares* devido a saturação, desbalanceamentos, etc. se tornem aparentes na resposta.

como sinal de entrada e a posição do disco de atuação **Encoder #1 Position** como sinal de saída. Obtenha a relação de amplitudes  $A_r$  e a defasagem  $\phi$  para cada uma das frequências medidas. Posteriormente utilize o programa `compara.m` para obter o gráfico com os resultados do experimento, conforme explicado na seção 3.1.

9. Através da frequência de ressonância  $\omega_r$  e máximo pico  $M_p$  medidos, determine o fator de amortecimento  $\xi_{1sp}$  e a frequência natural de oscilação  $\omega_{n1sp}$  através das expressões (1) e (2).

### 3.2.2 Disco de atuação com pesos

1. Com o controlador desligado, fixe quatro massas de 212 [g] sobre o disco de atuação. Os pesos devem ser fixados a  $d = 4,5$  [cm] do centro do disco, e os pesos têm o raio  $r = 1,5$  [cm]. A inércia total dos pesos é determinada por

$$J_w = 4\left(md^2 + \frac{1}{2}mr^2\right);$$

2. Repita os passos de 2 a 8 utilizados no experimento anterior, considerando agora a Fig. 5b como referência para as amplitudes.
3. Considere  $J_w$  a inércia total dos pesos,  $K_p$  o ganho do controlador e  $k_{hw}$  o ganho de hardware. Da mesma forma que na experiência de identificação através da resposta temporal (Experiência 5), use as seguintes relações para obter o momento de inércia  $J_{dd}$  do disco de atuação e o coeficiente de atrito  $c_{dd}$  do disco:

$$\omega_{n1sp}^2 = \frac{K_p k_{hw}}{J_{dd}}, \quad \omega_{n1cp}^2 = \frac{K_p k_{hw}}{J_w + J_{dd}}, \quad 2\xi_{1sp} \omega_{n1sp} = \frac{c_{dd}}{J_{dd}};$$

4. Junte os gráficos necessários, os parâmetros obtidos, e compare com os resultados da identificação por resposta temporal, indicando a consistência ou não dos dois experimentos.

Com os ensaios descritos nos dois experimentos com o disco de atuação, o grupo deve ter obtido os parâmetros deste disco (momento de inércia  $J_{dd}$ , coeficiente de atrito sem pesos  $c_{dd}$ ) e o ganho de hardware  $k_{hw}$ .

### 3.2.3 Discos de atuação e de carga conectados

1. Com o controlador desligado, retire os pesos do disco de atuação, do disco de carga e coloque o sistema na seguinte configuração:
  - Engrenagens no pino SR:  $n_{pd} = 24$  (atuação e pino),  $n_{pl} = 36$  (carga e pino),
  - Correias: 140 (atuação e pino) e 260 (carga e pino);

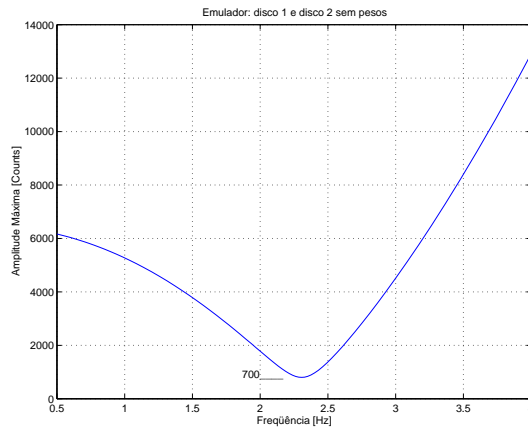


Figura 6: Valores máximos de amplitude: discos conectados sem pesos.

- Na caixa de diálogo **Set-up Data Acquisition** no menu **Data** inclua também para aquisição de dados a informação do **Encoder #2**. Considere agora a Fig 6 como referência para as amplitudes, e repita os passos de 2 a 6 indicados no experimento do disco de atuação sem pesos.
- Escolhendo a posição comandada **Commanded Position** como entrada e a posição do disco de atuação **Encoder #1 Position** como saída, utilize o programa `manipula.m` para obter a relação de amplitudes  $A_r$  e a defasagem  $\phi$  para cada uma das frequências medidas. A função de transferência do sistema de dois discos com realimentação é de 2a. ordem, envolvendo os parâmetros dos discos: inércia  $J_{dd}$  e  $J_{dl}$  e coeficiente de atrito sem pesos  $c_{dd}$  e  $c_{dl}$ , a inércia do pino SR  $J_{pi}$ , a constante de hardware  $k_{hw}$  e o ganho do controlador  $K_p$ . Esta função de transferência é dada na seção 6 da apostila da Experiência 5, sendo o momento de inércia equivalente dado por

$$J_{dd} + \frac{J_{pi}}{g_r'^2} + \frac{J_{dl}}{g_r^2}, \quad g_r = 6 \frac{n_{pd}}{n_{pl}}, \quad g_r' = \frac{n_{pd}}{12}$$

e a inércia  $J_{pi}$  do pino SR com engrenagens é dada por

$$J_{pi} = J_{SR} + J_{n_{pd}} + J_{n_{pl}}$$

onde  $J_{SR} = 8,0 \times 10^{-6}$  inércia do pino,  
 $J_{n_{pd}} = 3,1 \times 10^{-5}$  inércia da engrenagem de 24 dentes,  
 $J_{n_{pl}} = 3,9 \times 10^{-5}$  inércia da engrenagem de 36 dentes.

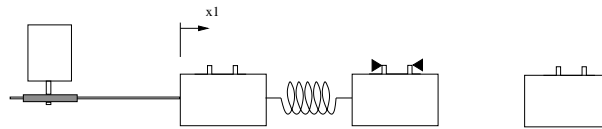
- Utilize o programa `compara.m` com a função de transferência obtida dos dados do experimento de resposta temporal, e os dados deste experimento, conforme explicado na seção 3.1, para traçar os diagramas de Bode para essa configuração. Com os dados da resposta temporal, construa a função de transferência  $\Theta_1(s)/R(s)$  dada na seção 6 da apostila da Experiência 5, onde  $R(s)$  é a posição comandada **Commanded Position** em [counts].

- Com os parâmetros obtidos nos experimentos descritos nas seções 3.2.1 e 3.2.2, e os valores de inércia dados acima, obtenha os parâmetros do disco de carga ( $J_{dl}$  e  $c_{dl}$ ). Verifique se os valores encontrados nessa experiência estão compatíveis com os encontrados na experiência de resposta temporal.

### 3.3 Identificação de parâmetros do sistema retilíneo

#### 3.3.1 Carro #1 sem pesos

- Com o controlador desligado, trave o segundo carro utilizando uma chave apropriada, conforme o diagrama abaixo. Conecte o primeiro e o segundo carros utilizando uma mola de dureza média;



- Com o controlador ligado, entre na caixa de diálogo **Control Algorithm** do menu **Set-up** e defina **Ts=0.00442s** para **Continuous Time**. Vá para o **Set-up Data Acquisition** no menu **Data** e selecione **Commanded Position** e **Encoder #1** como variáveis a adquirir, e especifique amostragem de dados a cada **3 ciclos**.
- Entre no menu **Command**, vá para **Trajectory** e selecione **Sinusoidal**. Em **Set-up** selecione **Open-Loop**, e para o ajuste da amplitude oriente-se pela curva dada na Fig. 7a. A curva serve como referência para os valores de amplitudes, principalmente em torno da frequência de ressonância, indicada pelos seus valores mínimos. Para frequências inferiores a da ressonância, o limite pode ser ligeiramente ultrapassado para superar o atrito seco (ou atrito de Coulomb), enquanto para frequências superiores um limite menor do que o indicado pela curva deve ser respeitado. Essa curva provê um ajuste das amplitudes de entrada para que se observe na saída amplitudes de magnitude semelhantes em todas as frequências<sup>3</sup>;
- Na opção **Frequency** selecione um conjunto de 6 a 8 valores de frequências diferentes na faixa indicada na Fig. 7a, concentrando as escolhas na região próxima à frequência de ressonância. Após detectar a frequência de ressonância adequadamente, selecione mais três frequências abaixo desta e três acima, dentro da faixa indicada. Para a escolha do número de períodos para execução do movimento, considere um valor suficientemente alto para que o sistema entre em regime, mas não tão longo, para que os arquivos a serem salvos não fiquem excessivamente grandes. Nestes experimentos os valores típicos são de 30 a 40 ciclos;

<sup>3</sup> Via de regra, escolha amplitudes suficientemente altas para que o movimento tenha grandes excursões que superem o *atrito de Coulomb*, mas não tão grandes para evitar que a mola seja excessivamente distendida, apresentado então *comportamento não-linear*.

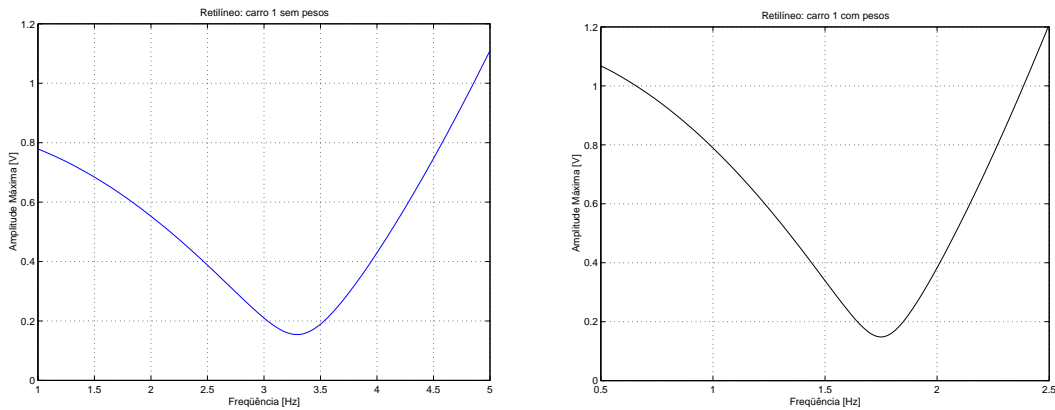


Figura 7: Valores máximos de amplitude: a) carro #1 sem pesos; b) carro #1 com pesos.

5. Retorne para o **Background Screen**, clicando sucessivamente **OK**. Selecione **Zero Position** no menu **Utility** para zerar as posições dos encoders. Comande a execução do movimento com **Execute** no menu **Command**;
6. Através do **Plot** da curva de resposta, verifique se houve de fato tempo para o sistema entrar em regime permanente; caso não seja observado o comportamento de regime, aumente o número de ciclos no menu **Command**, **Trajectory**, **Sinusoidal** e descarte o ensaio. Caso a resposta tenha atingido o regime permanente, salve esses dados num arquivo com extensão `txt`, através do menu **Data**, **Export Raw Data**. Dê um nome apropriado a esse arquivo que faça referência à *configuração utilizada* e a *frequência empregada* neste ensaio, para uso posterior no programa `manipula.m`. Repita esse procedimento para todas as medidas efetuadas.
7. Após a finalização das medidas, utilize os arquivos de dados gravados como entrada para o programa `manipula.m`, escolhendo a posição comandada **Commanded Position** como sinal de entrada e a posição do carro #1 **Encoder #1 Position** como sinal de saída. Obtenha a relação de amplitudes  $A_r$  e a defasagem  $\phi$  para cada uma das frequências medidas. Posteriormente utilize o programa `compara.m` para obter o gráfico com os resultados do experimento, conforme explicado na seção 3.1.
8. Através da frequência de ressonância  $\omega_r$  e máximo pico  $M_p$  medidos, determine o fator de amortecimento  $\xi_{1sp}$  e a frequência natural de oscilação  $\omega_{n1sp}$  através das expressões (1) e (2).

### 3.3.2 Carro #1 com pesos

1. Com o controlador desligado, fixe quatro massas de 500g sobre o primeiro carro;
2. Repita os passos de 2 a 8 utilizados no experimento anterior, considerando agora a Fig. 7b como referência para as amplitudes.

- Da mesma forma que na experiência de identificação através da resposta temporal (Experiência 5), denote por  $m_w$  o peso combinado das 4 massas, e use as seguintes relações para obter a massa  $m_1$  do primeiro carro sem carga, a constante de mola  $k_1$ , e o coeficiente de atrito  $c_{1sp}$  do carro #1 sem pesos:

$$\omega_{n1sp}^2 = \frac{k_1}{m_1}, \quad \omega_{n1cp}^2 = \frac{k_1}{m_w + m_1}, \quad 2\xi_{1sp} \omega_{n1sp} = \frac{c_{1sp}}{m_1};$$

- Junte os gráficos necessários, os parâmetros obtidos, e compare com os resultados da identificação por resposta temporal, indicando a consistência ou não dos dois experimentos.

Com os ensaios descritos nos dois experimentos com o carro #1, o grupo deve ter obtido os parâmetros deste carro (massa  $m_1$ , coeficiente de atrito viscoso sem pesos  $c_1$ ), a constante da mola ( $k_1$ ) e o ganho de hardware  $k_{hw}$ .

### 3.3.3 Carros #1 e #2 conectados

- Com o controlador desligado, destrave o segundo carro e retire os pesos dos carros;
- Repita os passos de 2 a 6 indicados no experimento do carro #1 sem pesos. Inclua também para aquisição de dados a informação do **Encoder #2**. Considere agora a Fig. 8 como referência para as amplitudes.

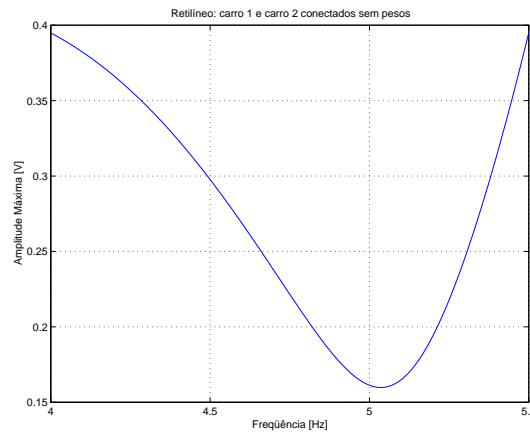


Figura 8: Valores máximos de amplitude: carros #1 e #2 conectados sem pesos.

- Escolhendo a posição do carro #1 como entrada e a posição do carro #2 como saída, utilize o programa `manipula.m` para obter a relação de amplitudes  $A_r$  e a defasagem  $\phi$  para cada uma das frequências medidas. Com essa escolha de entrada e saída, a função de transferência em questão é de 2a. ordem, envolvendo a constante de mola  $k_1$  e os parâmetros do carro #2: massa  $m_2$  e coeficiente de atrito sem pesos  $c_2$  (mostre isto). Utilize o programa `compara.m` com a função de transferência obtida dos dados do

experimento de resposta temporal, e os dados deste experimento, conforme explicado na seção 3.1.

Com o valor da constante da mola  $k_1$  obtido nos experimentos descritos em 3.3.1 e 3.3.2 obtenha os parâmetros do carro #2 ( $m_2$  e  $c_2$ ).

4. Verifique se estes valores estão compatíveis com os dados encontrados na experiência de resposta temporal. Para a análise comparativa, construa a função de transferência  $X_2(s)/F(s)$  dada por

$$\frac{X_2(s)}{F(s)} = \frac{k_1}{D_r(s)}$$

com  $D_r(s) = m_1 m_2 s^4 + (c_1 m_2 + c_2 m_1) s^3 + [(m_1 + m_2) k_1 + c_1 c_2] s^2 + (c_1 + c_2) k_1 s$ .

Acrescente o ganho  $k_{hw}$  de forma que  $k_{hw} X_2(s)/F(s) = X_2(s)/E(s)$  onde  $E(s)$  é a posição comandada **Commanded Position** em [counts], e trace os Diagramas de Bode utilizando o programa `compara.m`.

## 3.4 Identificação de parâmetros do sistema torcional

### 3.4.1 Disco #1 sem pesos

1. Com o controlador desligado trave o disco #2 utilizando um pino e uma chave apropriada;
2. Com o controlador ligado, entre na caixa de diálogo **Control Algorithm** do menu **Set-up** e defina **Ts=0.00442s** para **Continuous Time**. Vá para o **Set-up Data Acquisition** no menu **Data** e selecione **Commanded Position** e **Encoder #1** como variáveis a adquirir, e especifique amostragem de dados a cada **2 ciclos**.
3. Entre no menu **Command**, vá para **Trajectory** e selecione **Sinusoidal**. Em **Set-up** selecione **Open-Loop**, e para o ajuste da amplitude oriente-se pela curva dada na Fig. 9a. A curva serve como referência para os valores de amplitudes, principalmente em torno da frequência de ressonância, indicada pelos seus valores mínimos. Para frequências inferiores a da ressonância, o limite pode ser ligeiramente ultrapassado para superar o atrito seco (ou atrito de Coulomb), enquanto para frequências superiores um limite menor do que o indicado pela curva deve ser respeitado. Essa curva provê um ajuste das amplitudes de entrada para que se observe na saída amplitudes de magnitude semelhantes em todas as frequências<sup>4</sup>;
4. Na opção **Frequency** selecione um conjunto de 6 a 8 valores de frequências diferentes na faixa indicada na Fig. 9a, concentrando as escolhas na região próxima à frequência de ressonância. Após detectar a frequência de ressonância adequadamente, selecione mais três frequências abaixo desta e três acima, dentro da faixa indicada. Para a escolha do

<sup>4</sup> Via de regra, escolha amplitudes suficientemente altas para que o movimento tenha grandes excursões que superem o *atrito de Coulomb*, mas não tão grandes para evitar que a mola de torsão seja excessivamente distendida, apresentado então *comportamento não-linear*.

número de períodos para execução do movimento, considere um valor suficientemente alto para que o sistema entre em regime, mas não tão longo, para que os arquivos a serem salvos não fiquem excessivamente grandes. Nestes experimentos os valores típicos são de 30 a 40 ciclos;

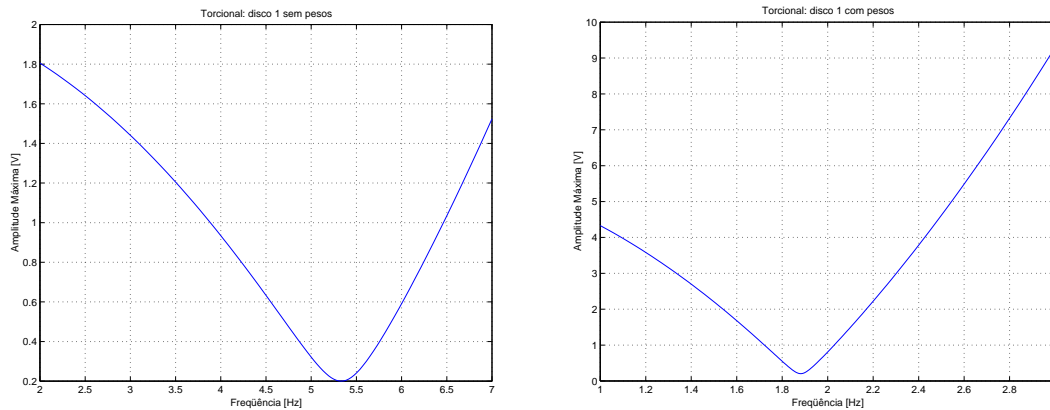


Figura 9: Valores máximos de amplitude: a) disco #1 sem pesos; b) disco #1 com pesos.

5. Retorne para o **Background Screen**, clicando sucessivamente **OK**. Selecione **Zero Position** no menu **Utility** para zerar as posições dos encoders. Comande a execução do movimento com **Execute** no menu **Command**;
6. Através do **Plot** da curva de resposta, verifique se houve de fato tempo para o sistema entrar em regime permanente; caso não seja observado o comportamento de regime, aumente o número de ciclos no menu **Command**, **Trajectory**, **Sinusoidal** e descarte o ensaio. Caso a resposta tenha atingido o regime permanente, salve esses dados num arquivo com extensão txt, através do menu **Data**, **Export Raw Data**. Dê um nome apropriado a esse arquivo que faça referência à *configuração utilizada* e a *freqüência empregada* neste ensaio, para uso posterior no programa manipula.m. Repita esse procedimento para todas as medidas efetuadas.
7. Após a finalização das medidas, utilize os arquivos de dados gravados como entrada para o programa manipula.m, escolhendo a posição comandada **Commanded Position** como sinal de entrada e a posição do disco #1 **Encoder #1 Position** como sinal de saída. Obtenha a relação de amplitudes  $A_r$  e a defasagem  $\phi$  para cada uma das freqüências medidas. Posteriormente utilize o programa compara.m para obter o gráfico com os resultados do experimento, conforme explicado na seção 3.1.
8. Através da freqüência de ressonância  $\omega_r$  e máximo pico  $M_p$  medidos, determine o fator de amortecimento  $\xi_{1sp}$  e a freqüência natural de oscilação  $\omega_{n1sp}$  através das expressões (1) e (2).

### 3.4.2 Disco #1 com pesos

1. Com o controlador desligado, fixe quatro massas de 500 [g] sobre o primeiro disco. Os pesos devem ser fixados a  $d = 9,0$  [cm] do centro do disco, e os pesos têm o raio  $r = 4,95/2$  [cm]. A inércia total dos pesos é determinada por

$$J_w = 4\left(md^2 + \frac{1}{2}mr^2\right);$$

2. Repita os passos de 2 a 8 utilizados no experimento anterior, considerando agora a Fig. 9b como referência para as amplitudes.
3. Considere  $J_w$  a inércia total dos pesos, e da mesma forma que na experiência de identificação através da resposta temporal (Experiência 5), use as seguintes relações para obter o momento de inércia  $J_1$  do primeiro disco sem carga, a constante de torsão da primeira mola  $k_1$ , e o coeficiente de atrito  $c_{1sp}$  do disco #1 sem pesos:

$$\omega_{n1sp}^2 = \frac{k_1}{J_1}, \quad \omega_{n1cp}^2 = \frac{k_1}{J_w + J_1}, \quad 2\xi_{1sp}\omega_{n1sp} = \frac{c_{1sp}}{J_1};$$

4. Junte os gráficos necessários, os parâmetros obtidos, e compare com os resultados de identificação por resposta temporal, indicando a consistência ou não dos dois experimentos.

Com os ensaios descritos nos dois experimentos com o disco #1, o grupo deve ter obtido os parâmetros deste disco (momento de inércia  $J_1$ , coeficiente de atrito viscoso sem pesos  $c_1$ ), a constante de torsão da mola ( $k_1$ ) e o ganho de hardware  $k_{hw}$ .

### 3.4.3 Discos #1 e #3 conectados

1. Com o controlador desligado, retire os pesos do disco #1, remova o disco #2 e certifique-se que o disco #3 esteja instalado;
2. Repita os passos de 2 a 6 indicados no experimento do disco #1 sem pesos. Inclua também para aquisição de dados a informação do **Encoder #3**. Considere agora a Fig. 10 como referência para as amplitudes.
3. Escolhendo a posição do disco #1 como entrada e a posição do disco #3 como saída, utilize o programa `manipula.m` para obter a relação de amplitudes  $A_r$  e a defasagem  $\phi$  para cada uma das frequências medidas. Com essa escolha de entrada e saída, a função de transferência em questão é de 2a. ordem, envolvendo a constante da mola de torsão equivalente  $1/k_{eq} = 1/k_1 + 1/k_3$  e os parâmetros do disco #3: inércia  $J_3$  e coeficiente de atrito sem pesos  $c_3$  (mostre isto). Utilize o programa `compara.m` com a função de transferência obtida dos dados do experimento de resposta temporal, e os dados deste experimento, conforme explicado na seção 3.1.

Com o valor da constante da mola  $k_1$  obtido nos experimentos descritos em 3.4.1 e 3.4.2 obtenha os parâmetros do disco #2 ( $J_3$  e  $c_3$ ), supondo que a constante da mola  $k_3$  seja idêntica à  $k_1$ .

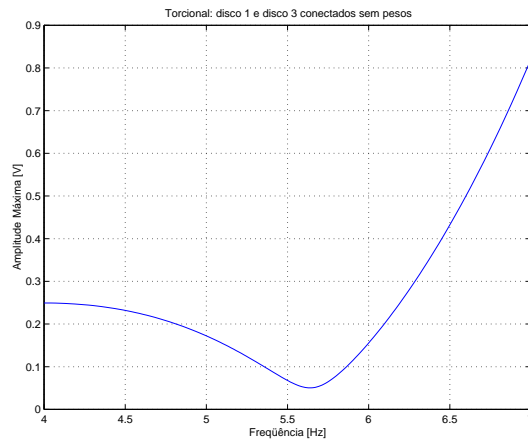


Figura 10: Valores máximos de amplitude: discos #1 e #3 conectados sem pesos.

- Verifique se estes valores estão compatíveis com os dados encontrados na experiência de resposta temporal. Para a análise comparativa, construa a função de transferência  $\Theta_3(s)/T(s)$  dada por

$$\frac{\Theta_3(s)}{T(s)} = \frac{k_{eq}}{D_t(s)}$$

com  $D_t(s) = J_1 J_3 s^4 + (c_1 J_3 + c_3 J_1) s^3 + [(J_1 + J_3) k_{eq} + c_1 c_3] s^2 + (c_1 + c_3) k_{eq} s$ .

Acrescente o ganho  $k_{hw}$  de forma que  $k_{hw} \Theta_3(s)/T(s) = \Theta_3(s)/E(s)$  onde  $E(s)$  é a posição comandada **Commanded Position** em [counts], e trace os Diagramas de Bode utilizando o programa `compara.m`.

### 3.5 Identificação dos parâmetros do pêndulo invertido

#### 3.5.1 Parâmetros da haste deslizante

- Com o controlador desligado, trave a haste principal na posição vertical com os calços apropriados. Retire os pesos “orelhas” da haste deslizante, e coloque-a na posição central  $x = 0$ ;
- Com o controlador ligado, entre na caixa de diálogo **Control Algorithm** do menu **Set-up** e defina  $T_s = 0.001768s$  para **Continuous Time**. No menu **Set-up** selecione **PID** e **Set-up Algorithm**. Entre com os valores  $K_p = 0.075$  e  $K_d = K_i = 0$ , selecione **Feedback Encoder #2** e **OK**. Selecione **Implement Algorithm** e depois **OK**;
- Vá para o **Setup Data Acquisition** no menu **Data** e selecione **Commanded Position** e **Encoder #2** como variáveis a adquirir, e especifique uma amostragem de dados a cada 5 ciclos;
- Entre no menu **Command**, vá para **Trajectory** e selecione **Sinusoidal**. Em **Set-up** selecione **Closed-Loop**, e para o ajuste da amplitude oriente-se pela curva dada na Fig. 11a.

A curva serve como referência para os valores de amplitudes, principalmente em torno da frequência de ressonância, indicada pelos seus valores mínimos. Para frequências inferiores a da ressonância, o limite pode ser ligeiramente ultrapassado para superar o atrito seco (ou atrito de Coulomb), enquanto para frequências superiores um limite menor do que o indicado pela curva deve ser respeitado. Essa curva provê um ajuste das amplitudes de entrada para que se observe na saída amplitudes de magnitude semelhantes em todas as frequências<sup>5</sup>;

- Na opção **Frequency** selecione um conjunto de 6 a 8 valores de frequências diferentes na faixa indicada na Fig. 11a, concentrando as escolhas na região próxima à frequência de ressonância. Após detectar a frequência de ressonância adequadamente, selecione mais três frequências abaixo desta e três acima, dentro da faixa indicada. Para a escolha do número de períodos para execução do movimento, considere um valor suficientemente alto para que o sistema entre em regime, mas não tão longo, para que os arquivos a serem salvos não fiquem excessivamente grandes. Nestes experimentos os valores típicos são de 30 a 40 ciclos;

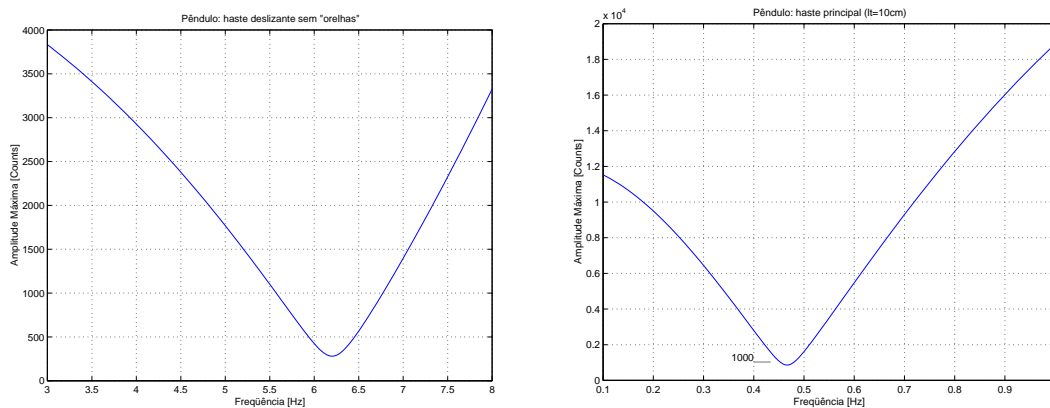


Figura 11: Valores máximos de amplitude: a) haste deslizante sem pesos; b) haste principal com contrapesos ( $\ell_{w2} = -13,75\text{cm}$ ).

- Retorne para o **Background Screen**, clicando sucessivamente **OK**. Selecione **Zero Position** no menu **Utility** para zerar as posições dos encoders. Comande a execução do movimento com **Execute** no menu **Command**;
- Através do **Plot** da curva de resposta, verifique se houve de fato tempo para o sistema entrar em regime permanente; caso não seja observado o comportamento de regime, aumente o número de ciclos no menu **Command**, **Trajectory**, **Sinusoidal** e descarte o ensaio. Caso a resposta tenha atingido o regime permanente, salve esses dados num arquivo com extensão txt, através do menu **Data**, **Export Raw Data**. Dê um nome apropriado a esse arquivo que faça referência à *configuração utilizada* e a *frequência*

<sup>5</sup> Via de regra, escolha amplitudes suficientemente altas para que o movimento tenha grandes excursões que superem o *atrito de Coulomb*, mas não tão grandes para evitar que *comportamentos não-lineares* devido a saturação, desbalanceamentos, etc. se tornem aparentes na resposta.

empregada neste ensaio, para uso posterior no programa `manipula.m`. Repita esse procedimento para todas as medidas efetuadas.

8. Após a finalização das medidas, utilize os arquivos de dados gravados como entrada para o programa `manipula.m`, escolhendo a posição comandada **Commanded Position** como sinal de entrada e a posição do disco de atuação **Encoder #1 Position** como sinal de saída. Obtenha a relação de amplitudes  $A_r$  e a defasagem  $\phi$  para cada uma das frequências medidas. Posteriormente utilize o programa `compara.m` para obter o gráfico com os resultados do experimento, conforme explicado na seção 3.1.
9. Através da frequência de ressonância  $\omega_r$  e máximo pico  $M_p$  medidos, determine o fator de amortecimento  $\xi_1$  e a frequência natural de oscilação  $\omega_{n1}$  através das expressões (1) e (2).
10. Considere  $K_p$  o ganho do controlador e o ganho de hardware  $k_s k_f k_x$ . Da mesma forma que na experiência de identificação através da resposta temporal (Experiência 5, seção 9.1), use as seguintes relações para obter a massa da haste deslizante  $m_{1o}$  e o coeficiente de atrito viscoso  $c_1$

$$\omega_{n1}^2 = \frac{K_p k_s k_f k_x}{m_{1o}}, \quad 2\xi_1 \omega_{n1} = \frac{c_1}{m_{1o}};$$

11. Junte os gráficos necessários, os parâmetros obtidos, e compare com os resultados de identificação por resposta temporal, indicando a consistência ou não dos dois experimentos.

### 3.5.2 Parâmetros da haste principal

1. Com o controlador desligado, destrave a haste principal. Coloque o contrapeso a 10,0 [cm] da base do pivot, o que corresponde a posicionar o seu centro de massa em  $\ell_{w2} = -13,75$  [cm] (configuração estável);
2. Implemente o controle da haste deslizante, conforme o passo 2 da seção 3.5.1;
3. Vá para o **Setup Data Acquisition** no menu **Data** e selecione **Commanded Position**, **Encoder #1** e **Encoder #2** como variáveis a adquirir, e especifique uma amostragem de dados a cada 35 ciclos;
4. Siga o procedimento indicado nos passos de 4 a 7 da seção 3.5.1 utilizando agora como referência para valores de amplitudes a curva da Fig. 11b;
5. Escolhendo a posição da haste deslizante **Encoder #2** como entrada e posição da haste principal **Encoder #1** como saída, utilize o programa `manipula.m` para obter a relação de amplitudes  $A_r$  e a defasagem  $\phi$  para cada uma das frequências medidas. Com essa escolha de entrada e saída, a função de transferência em questão é de 2a. ordem, envolvendo os parâmetros do pêndulo na seguinte forma:

$$\frac{\Theta(s)}{X_1(s)} = G_2(s) = -\frac{k_a}{k_x} \cdot \frac{m_1(\ell_0 s^2 - g)}{J^* s^2 + c_r s - g(m_1 \ell_0 + m_2 \ell_c)} \quad (6)$$

onde  $c_r = 0,01439$  é o coeficiente de atrito da haste rotacional, e os outros parâmetros do pêndulo são apresentados na Tabela 2 da apostila da Experiência 4. Mostre a validade dessa função de transferência, a partir das funções de transferência linearizadas do pêndulo apresentadas na apostila da Experiência 5, equações (18) e (19), acrescentando o coeficiente de atrito  $c_r$  e os ganhos adequados para expressar  $\Theta(s)$  e  $X_1(s)$  em counts. Utilize o programa `comparsa.m` com a função de transferência obtida dos dados do experimento de resposta temporal, e os dados deste experimento, conforme explicado na seção 3.1.

6. A partir da frequência de ressonância obtida, calcule o momento de inércia  $J_0^*$  da haste principal, considerando a função de transferência em (6) e o fator de amortecimento desprezível.
7. Junte os gráficos necessários, o valor de  $J_0^*$  calculado, e compare com os resultados obtidos da identificação por resposta temporal e da Tabela 2 da Experiência 4, indicando a consistência ou não dos experimentos.

## 3.6 Identificação dos parâmetros do levitador magnético

### 3.6.1 Disco #1 em malha fechada

1. Com o controlador desligado, configure o levitador somente com o disco #1;
2. Ligue o controlador. Entre no menu **Set-up** e selecione **Set-up Sensor Calibrator**. Selecione **Calibrate Sensor** e **Apply Thermal Compensation**. Utilize os valores de  $e$ ,  $f$ ,  $g$  e  $h$ , determinados na **Experiência 2**, que se encontram disponíveis na configuração `Cal_2005.cfg`.
3. Entre na caixa de diálogo **Control Algorithm** e defina **Ts=0.001768s**. Carregue o algoritmo **P.alg** através da opção **Load from disk**. Em seguida selecione **Edit Algorithm** e certifique-se de que o ganho do controlador proporcional é  $K_p = 0.55$ . Em seguida selecione **Implement Algorithm**. O disco irá se mover para a altura de 2,0 [cm] mantendo-se nesta posição;
4. Vá para o **Setup Data Acquisition** no menu **Data** e selecione **Commanded Position** e **Variable Q10** como variáveis a adquirir, e especifique uma amostragem de dados a cada 2 ciclos;
5. Entre no menu **Command**, vá para **Trajectory** e selecione **Sinusoidal**; em **Set-up** selecione **Closed-Loop**. Faça medidas em frequências específicas na faixa de de 1 a 6 Hz, e para o ajuste da amplitudes oriente-se pela Tabela 1.

Esses pontos servem como referência para os valores de amplitudes, e estão localizados em torno da frequência de ressonância<sup>6</sup>;

<sup>6</sup> Via de regra, escolha amplitudes suficientemente altas para que o movimento tenha grandes excursões que superem o *atrito de Coulomb*, mas não tão grandes para evitar que *comportamentos não-lineares* devido a não-homogeneidade do fluxo magnético, desbalanceamentos, etc. se tornem aparentes na resposta.

Tabela 1: Sugestão de amplitudes para o experimento.

Frequência [Hz]	Amplitude [counts]
2,0	4.000
3,0	1.000
4,0	1.000
5,0	1.800

6. Na opção **Frequency** selecione um conjunto de 6 a 8 valores de frequências diferentes na faixa indicada na Tabela 1, concentrando as escolhas na região próxima à frequência de ressonância. Após detectar a frequência de ressonância adequadamente, selecione mais três frequências abaixo desta e três acima, dentro da faixa indicada. Para a escolha do número de períodos para execução do movimento, considere um valor suficientemente alto para que o sistema entre em regime, mas não tão longo, para que os arquivos a serem salvos não fiquem excessivamente grandes. Nestes experimentos os valores típicos são de 30 a 40 ciclos;
7. Retorne para o **Background Screen**, clicando sucessivamente **OK**. Selecione **Zero Position** no menu **Utility** para zerar as posições dos encoders. Comande a execução do movimento com **Execute** no menu **Command**;
8. Através do **Plot** da curva de resposta, verifique se houve de fato tempo para o sistema entrar em regime permanente; caso não seja observado o comportamento de regime, aumente o número de ciclos no menu **Command, Trajectory, Sinusoidal** para valores próximos de 60 ciclos e descarte o ensaio anterior. Caso a resposta tenha atingido o regime permanente, salve esses dados num arquivo com extensão txt, através do menu **Data, Export Raw Data**. Dê um nome apropriado a esse arquivo que faça referência à *configuração utilizada e a frequência empregada* neste ensaio, para uso posterior no programa `manipula.m`. Repita esse procedimento para todas as medidas efetuadas.
9. Após a finalização das medidas, utilize os arquivos de dados gravados como entrada para o programa `manipula.m`, escolhendo a posição comandada **Commanded Position** como sinal de entrada e a posição do disco #1 **Variable Q10** como sinal de saída. Obtenha a relação de amplitudes  $A_r$  e a defasagem  $\phi$  para cada uma das frequências medidas. Posteriormente utilize o programa `compara.m` para obter o gráfico com os resultados do experimento, conforme explicado na seção 3.1.
10. Através da frequência de ressonância  $\omega_r$  e máximo pico  $M_p$  medidos, determine o fator de amortecimento  $\xi_1$  e a frequência natural de oscilação  $\omega_{n1}$  através das expressões (1) e (2).
11. Considere  $K_p$  o ganho do controlador e a massa do disco #1  $m_1 = 123[\text{g}]$ . Da mesma forma que na experiência de identificação através da resposta temporal (Experiência 5, seção 10.2), use as seguintes relações para obter o valor de  $k_{hw}$  e do coeficiente de atrito

$c_1$ 

$$\omega_{n1}^2 = \frac{K_p k_{hw}}{m_1}, \quad 2\xi_1 \omega_{n1} = \frac{c_1}{m_1}.$$

### 3.6.2 Disco #1 sem compensação da força magnética

Neste experimento vamos implementar somente a compensação da não-linearidade do sensor de posição, mantendo a relação de interação não-linear dos campos magnéticos entre a bobina (atuador) e o disco magnético. Nesta situação, a interação magnética entre a bobina e o disco magnético provoca uma força de repulsão que se opõe a força peso, cuja resultante é uma força de reconstituição equivalente à de uma mola mecânica. Para operação com pequenos deslocamentos em torno de um ponto de operação, utilizando a linearização do atuador por série de Taylor, define-se uma “mola” cuja constante vamos denotar por  $k_1$ , e o levitador com um disco pode ser estudado como um sistema massa mola simples. Para a análise, utiliza-se inicialmente o modelo não-linear para um único disco:

$$m_1 \ddot{y}_1 + c_1 \dot{y}_1 = F u_{11}(y_1) - m_1 g$$

Para o estudo em questão, a expressão da força  $F u_{11}$  deve ser linearizada em torno do ponto de operação  $(u_{10}, y_{10})$ , usando a expansão em série de Taylor:

$$\begin{aligned} F u_{11} &\cong F u_{11}(u_{10}, y_{10}) + \frac{\partial F u_{11}}{\partial u_1}(u_{10}, y_{10})(u_1 - u_{10}) + \frac{\partial F u_{11}}{\partial y_1}(u_{10}, y_{10})(y_1 - y_{10}) \\ &= \frac{u_1}{a(100y_{10} + b)^4} - \frac{400u_{10}}{a(100y_{10} + b)^5}y_1 + \frac{400u_{10}y_{10}}{a(100y_{10} + b)^5} \end{aligned}$$

Assim, adotando-se  $u_{10}$  de tal forma que

$$\frac{400u_{10}y_{10}}{a(100y_{10} + b)^5} = m_1 g \quad (7)$$

o modelo linearizado fica:

$$m_1 \ddot{y}_1 + c_1 \dot{y}_1 + \frac{400u_{10}}{a(100y_{10} + b)^5}y_1 = \frac{u_1}{a(100y_{10} + b)^4} \quad (8)$$

De modo que a frequência de ressonância do sistema linearizado é tal que:

$$\omega_n^2 = \sqrt{\frac{400u_{10}}{a(100y_{10} + b)^5} \cdot \frac{1}{m_1}}$$

- **Determinação de  $k_1$  (Efeito de mola entre a bobina #1 e o disco #1).**

Para estas medidas a configuração é idêntica à anterior, ou seja somente o disco #1 estará presente :

1. Adote a altura  $y_{10}$  de equilíbrio do disco #1 como 2,0 [cm] e calcule através da expressão (7) o valor da corrente  $u_{10}$  [A] necessária para levar o disco ao equilíbrio. Utilize o comando `solve` do Matlab para este cálculo da seguinte forma:  
`u0=solve('400*u0*y0/(a*(100*y0+b)^5)=m1*g', 'u0')`, introduzindo os valores numéricos das constantes;
2. No menu **File** carregue os parâmetros de calibração do sensor. Através da opção **Load Settings** carregue o arquivo "Cal\_2005.cfg". Entre no menu **Setup, Sensor Calibration**, selecione a opção **Calibrate Sensor**  $Y_{cal} = a/Y_{raw} + f/\sqrt{Y_{raw}} + g + h * Y_{raw}$  e habilite a opção **Apply Thermal Compensation**;
3. Entre na caixa de diálogo **Control Algorithm** e defina **Ts=0.001768s**. Carregue o algoritmo **MA.alg** através da opção **Load Algorithm**. Usando a opção **Edit**, introduza no algoritmo o valor calculado de  $u_{10}$  na unidade counts (= Ampère  $\times 10^4$ ). Em seguida selecione **Implement Algorithm**. O disco deve se mover para a altura de 2,0 [cm] mantendo-se nesta posição;  
**Observação:** Nesta situação o sistema levitador opera sem a compensação do atuador e sem controle; somente a compensação da força peso está sendo utilizada para manter o disco a altura de 2,0 [cm]. Para pequenos deslocamentos, a interação magnética entre o disco e a bobina pode ser considerada como um efeito de mola.
4. Entre no menu **Data** a seguir **Setup Data Acquisition** e selecione **Commanded Position, Control Effort** e **Variable Q10**;
5. Repita os passos de 5 a 8 utilizados no experimento anterior, considerando agora a Tabela 2 como referência para as amplitudes;

Tabela 2: Sugestão de amplitudes para o experimento.

Frequência [Hz]	Amplitude [counts]
2,0	2.000
3,0	1.400
4,0	1.800
5,0	3.000

6. A partir da frequência de ressonância e do valor de pico obtidos determine o valor de  $k_1$  e compare com o valor teórico conforme expressão (8).

## Referências

- [1] Ogata, K., *Engenharia de Controle Moderno*, 2a. Edição, Prentice-Hall do Brasil, 1993.
- [2] Franklin, G. F., Powell, J. D., Emami-Naeini, A., *Feedback Control of Dynamic Systems*, 2nd Edition, Addison-Wesley, 1990.

- [3] Soderström, T., Stoica, P., System Identification, Prentice Hall, 1987.
- [4] Manual for Model 220 – Industrial Emulator/Servo Trainer, ECP, 1995.
- [5] Manual for Model 210/210a – Rectilinear Control System, ECP, 1998.
- [6] Manual for Model 205/205a – Torcional Control System, ECP, 1997
- [7] Manual for Model 505 – Inverted Pendulum, ECP, 1994.
- [8] Manual for Model 730 – Magnetic Levitation System, ECP, 1999.